

# **Analiza danych rzeczywistych przy pomocy modelu ARMA**

## **Autorzy**

Kacper Budnik, 262286  
Maciej Karczewski, 262282

Wydział Matematyki 8 lutego 2023

# Spis treści

<b>1</b>	<b>Wprowadzenie</b>	<b>2</b>
<b>2</b>	<b>Przygotowanie danych do analizy</b>	<b>2</b>
<b>3</b>	<b>Dekompozycja szeregu czasowego</b>	<b>2</b>
3.1	Wykresy dla surowych danych . . . . .	2
3.2	Transformacja Boxa-Coxa . . . . .	2
3.3	Różnicowanie sezonowe . . . . .	2
<b>4</b>	<b>Ocena dopasowania modelu</b>	<b>2</b>
<b>5</b>	<b>Analiza szumu</b>	<b>3</b>
5.1	Stała średnia równa 0 . . . . .	3
5.2	Stała wariancja . . . . .	5
5.3	Niezależność szumu . . . . .	5
5.4	Założenie o normalności rozkładu . . . . .	6
<b>6</b>	<b>Wnioski autorów</b>	<b>7</b>

# 1 Wprowadzenie

## 2 Przygotowanie danych do analizy

## 3 Dekompozycja szeregu czasowego

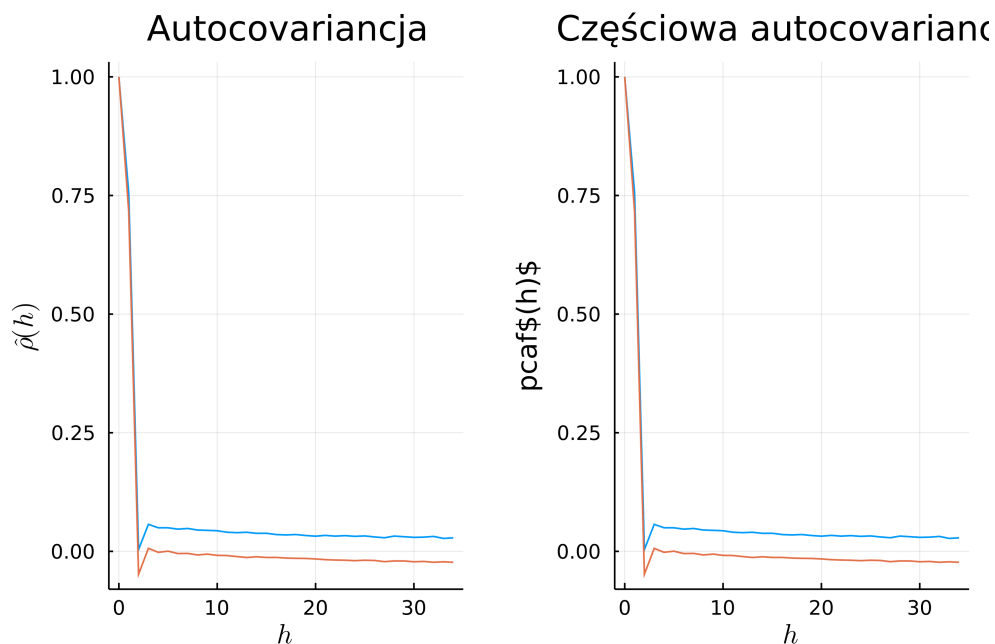
### 3.1 Wykresy dla surowych danych

### 3.2 Transformacja Boxa-Coxa

### 3.3 Różnicowanie sezonowe

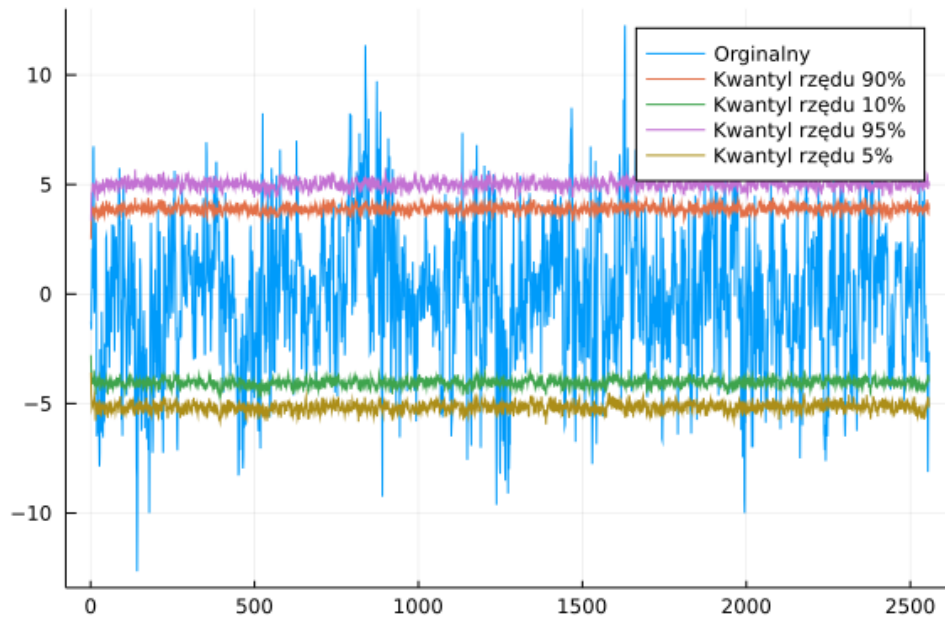
## 4 Ocena dopasowania modelu

W celu oceny dopasowania modelu do danych zobaczymy jak wyglądają przedziały ufności na poziomie  $\alpha = 5\%$  dla ACF i PACF



Rysunek 1: Przedziały ufności dla ACF i PACF dla naszego modelu

Jak możemy zobaczyć na wykresie 1 istnieje tylko okresowa zależność pomiędzy danymi w modelu. Następnie porównamy trajektorię z liniami kwantylowymi dla naszego modelu



Rysunek 2: Porównanie oryginalnych danych z liniami kwantylowymi modelu

Analizując linie kwantylowe naszego modelu pokazane na wykresie 2 możemy zauważyć, że model w miarę dobrze się sprawdza dla naszych danych.

Patrząc na wykres zależności w modelu 1 oraz na wykres z liniami kwantylowymi 2 dochodzimy do wniosku, że model dobrze się sprawdza dla naszych danych.

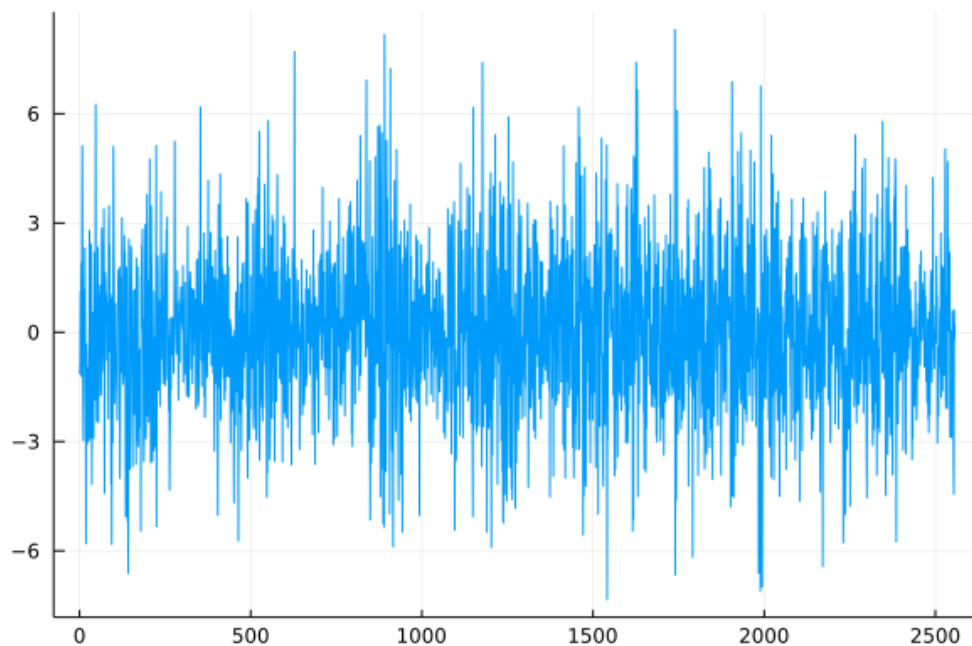
## 5 Analiza szumu

Podczas tworzenia modelu ARMA zakładaliśmy następujące warunki odnośnie szumu

1.  $\mathbb{E}\xi_i = 0 \quad \forall i$ ,
2.  $Var\xi_i = \sigma^2 < \infty \quad \forall i$ ,
3.  $\xi_i \perp \xi_j$  dla  $i \neq j$ ,

### 5.1 Stała średnia równa 0

Sprawdzimy czy rezidua naszego modelu mają stałą średnią równą 0. W tym celu zobaczymy jak wyglądają nasze wartości resztowe.



Rysunek 3: Residua naszego modelu

Jak możemy zobaczyć na 3 średnia jest stała w czasie i wynosi w przybliżeniu 0. W celu upewnienia się wykonamy też t test dla jednej zmiennej.

```
One sample t-test
-----
Population details:
  parameter of interest:  Mean
  value under h_0:       0
  point estimate:        0.000791916
  95% confidence interval: (-0.08009, 0.08167)

Test summary:
  outcome with 95% confidence: fail to reject h_0
  two-sided p-value:        0.9847

Details:
  number of observations:  2557
  t-statistic:             0.019200134473658807
  degrees of freedom:      2556
  empirical standard error: 0.04124531616232871
```

Rysunek 4: Test t dla naszych wartości resztowych

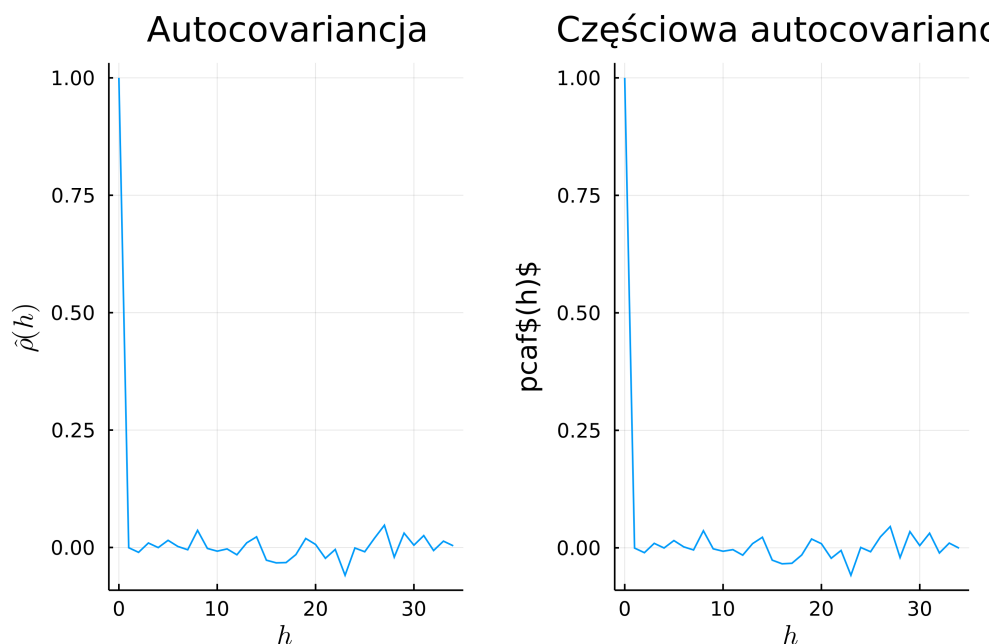
Jak możemy zobaczyć test t 4 nie miał podstaw do odrzucenia hipotezy zerowej, która mówiła, że średnia wynosi 0. Test zwrócił  $p$ -value równe 0.9847. Tak więc możemy przyjąć, że średnia jest stała i równa 0

## 5.2 Stała wariancja

Z wykresu 3 możemy odczytać, że wariancja jest stała. Dodatkowo możemy obliczyć, że należy ona do przedziału  $[4.141; 4.554]$  na poziomie ufności  $\alpha = 5\%$

## 5.3 Niezależność szumu

Sprawdźmy teraz założenie dotyczące niezależności szumu w czasie. Sprawdzimy na początek wykres autokowariancji i częściowej autokowariancji.



Rysunek 5: ACF i PACF dla wartości resztkowych modelu

Na wykresie 5 możemy zobaczyć że mamy szum jest zależny tylko od siebie w tym samym momencie. Dodatkowo wykonamy test Ljunga-Boxa by upewnić się że szum jest niezależny od siebie.

```
Ljung-Box autocorrelation test
-----
Population details:
  parameter of interest: autocorrelations up to lag k
  value under h_0:      "all zero"
  point estimate:       NaN

Test summary:
  outcome with 95% confidence: fail to reject h_0
  one-sided p-value:      0.9788

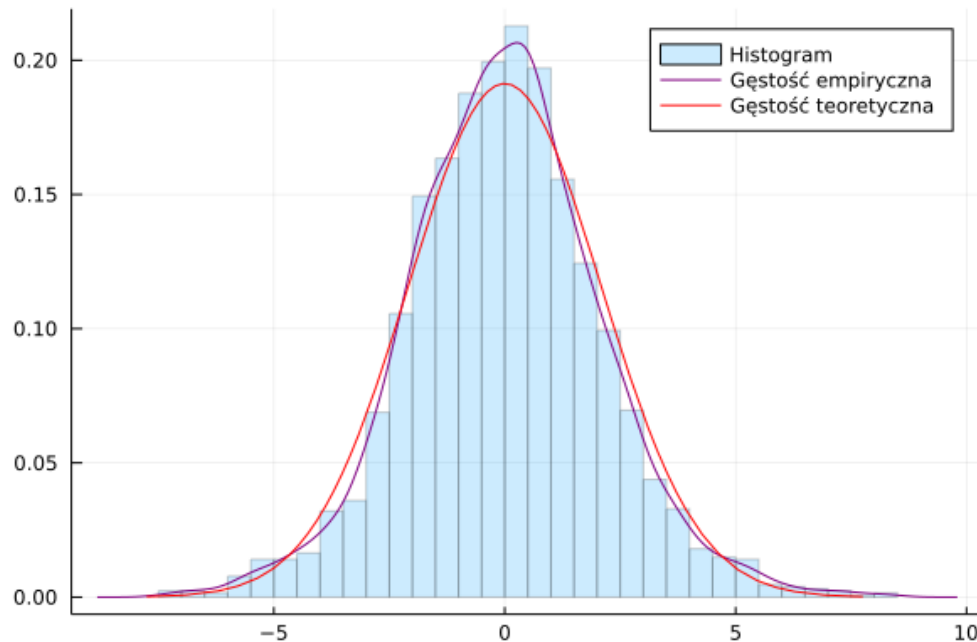
Details:
  number of observations: 2557
  number of lags:        1
  degrees of freedom correction: 0
  Q statistic:           0.000705594
```

Rysunek 6: Test Ljunga Boxa dla naszych wartości resztkowych

Test nam potwierdza, że nie mamy podstaw do odrzucenia hipotezy mówiącej, że szum jest niezależny od siebie.

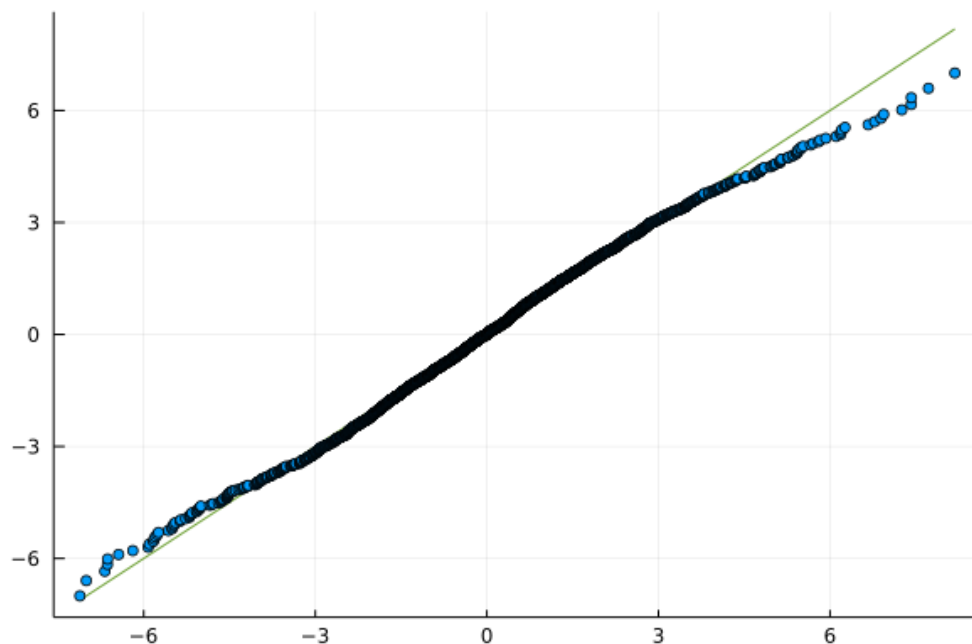
## 5.4 Założenie o normalności rozkładu

Sprawdźmy teraz dodatkowe założenie mówiące o tym że szum ma rozkład normalny. Na początku sprawdzimy histogram wraz z gęstością empiryczną i teoretyczną rozkładu normalnego.



Rysunek 7: Histogram, gęstość rozkładu szumu wraz z rozkładem normalnym

Patrząc na histogram wraz z gęstościami 7 możemy załuważyć, że rozkład wartości resztowych może być normalny ale nie musi. W celu dalszego sprawdzenia normalności zobaczymy jak będzie wyglądał wykres kwantylowy.



Rysunek 8: Qqplot dla wartości resztowych

Analizując wykres kwantylowy 8 widzimy, że potencjalnie ogony rozkładu niezgadzają się z rozkładem normalnym. W celu ostatecznej weryfikacji normalności wykonamy test Andersona Darlinga.

```
One sample Anderson-Darling test
-----
Population details:
  parameter of interest:  not implemented yet
  value under h_0:       NaN
  point estimate:        NaN

Test summary:
  outcome with 95% confidence: reject h_0
  one-sided p-value:      0.0334

Details:
  number of observations:  2557
  sample mean:             0.0007919156167252843
  sample SD:               2.0856431385378396
  A² statistic:            2.830020981780576
```

Rysunek 9: Test Andersona Darlinga dla naszych wartości resztowych

Test Andersona Darlinga 9 odrzuca hipotezę o normalności rozkładu. Dla naszych danych  $p$ -value wynosi 3.3%.

Podsumowując rozkład szumu nie ma rozkładu normalnego.

## 6 Wnioski autorów